

ИССЛЕДОВАНИЕ ПЛАЗМЫ, ИНЖЕКТИРОВАННОЙ В МАГНИТНУЮ ЛОВУШКУ С ПОМОЩЬЮ КОНИЧЕСКОГО Θ-ПИНЧА

Н. И. Алиновский, А. М. Искольдский, Ю. Е. Нестерихин
и А. Г. Пономаренко

Известно, что отклонение от термодинамического равновесия в разреженной плазме сопровождается возбуждением коллективных плазменных колебаний^[1]. Возникновение колебаний, как правило, существенно оказывается на релаксационных процессах, явлениях переноса и т. д. Коллективные колебания являются основным фактором, влияющим на формирование структуры фронта сильных бесстолкновительных ударных волн^[2]. Именно в силу „коллективных“ свойств плазмы возможно существование в разреженной плазме специфических ударных волн с шириной фронта, значительно меньшей длины свободного пробега. Экспериментальное подтверждение существования таких ударных волн было приведено в работе^[3].

В настоящей работе описывается способ создания плазмы, инжектировавшейся в ловушку в описанных в^[3] опытах.

Плазма с плотностью ионов $n \approx 10^{13} \text{ см}^{-3}$ создавалась с помощью конического Θ-пинча. Соответствующее количество нейтрального газа (примерно 0.1 см³) впрыскивалось в вакуумную камеру с помощью электродинамического клапана. За время порядка 300–400 мксек. газ успевал равномерно распределиться в области под ионизующим витком, на который разряжался конденсатор емкостью 2 мкФ, заряженный до 20–40 кв (период равнялся 4.2 мксек.). Нагретая плазма проникала в магнитную ловушку сквозь ближайшую пробку и заполняла стеклянную камеру диаметром 16 и длиной около 150 см. Для того чтобы предотвратить быстрый уход инжектируемой в пробкotron плазмы, напряженность поля во второй пробке была увеличена в 1.3 раза по сравнению с первой. Период изменения поля составлял 5.2 мсек., $H_0 \leq 3 \text{ кэ}$, пробочное отношение α равнялось примерно 1.4. Конический источник срабатывал обычно примерно в момент достижения максимума магнитного поля H_0 .

Исследование параметров плазмы проводилось в основном с помощью зондирования СВЧ излучением в диапазоне длины волны 0.4, 0.8 и 3 см, детекторов рентгеновского излучения и электростатического анализатора. В области второй пробки располагалась ионная ловушка, подобная описанной в работе^[4], представляющая собой заземленный цилиндр (рис. 2, б) из нержавеющей стали с толщиной стенок 300 мм. Торец цилиндра был закрыт фольгой, имеющей несколько десятков отверстий диаметром 20–30 мк. Внутри цилиндра находился коллектор, расстояние которого от торца могло изменяться от 0.5 до 5 см. Ось цилиндра была перпендикулярна направлению магнитного поля ловушки. На коллектор могли попадать только ионы, ларморовский радиус которых был больше, чем расстояние от коллектора до фольги. При фиксированной напряженности поля и указанных изменениях положения коллектора пороговая энергия ионов дейтерия, регистрируемых ловушкой, изменялась соответственно от десятков до сотен электронвольт.

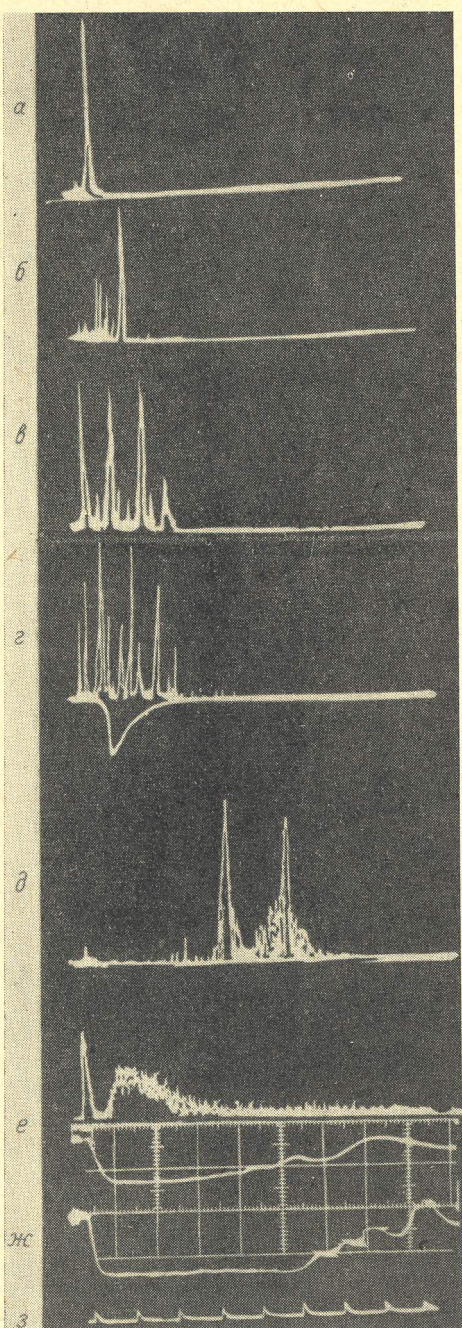


Рис. 1. Спектрограммы ионов с энергией 2 кв (а), 500 эв (б), 100 эв (в), 25 эв (г) и электронов 100 эв (е).

е — рентгеновское излучение, вызванное уходом электронов поперек магнитного поля; ж — запирание СВЧ сигнала ($\lambda = 0.8$ см и 3 см); з — метки времени через 50 мкеск. Газ — D_2 .

та инъекции на стенку камеры поперек магнитного поля H_0 выходят горячие электроны. Используя набор алюминиевых фольг, оказалось возможным оценить энергию γ -квантов. Максимальное значение энергии в первые моменты после инъекции оказалось равным $1 \div 2$ кв.

Электронный ток на коллектор практически отсутствовал вследствие малости ларморовского радиуса электронов.

На рис. 1 приведены осциллограммы, полученные с помощью описанных выше методов диагностики. Максимальная энергия продольного движения ионов и электронов, измеренная при помощи анализатора заряженных частиц, оказалась равной 5 кв. Как показала скоростная фоторегистрация, проведенная с помощью электронно-оптического преобразователя (щель ориентирована перпендикулярно движению плазмы), и зондовые измерения ($n \leq 10^{14} \text{ см}^{-3}$, рабочий газ — гелий), появление столь быстрых частиц связано с образованием плазменных сгустков в коническом источнике в течение первых полупериодов разряда. Концентрация частиц в них оказалась незначительной: $n = 10^{10} \div 10^{11} \text{ см}^{-3}$.

Результаты обработки спектрограмм, соответствующих промежутку времени $100 \div 120$ мкеск. от момента инъекции (рис. 1, б, в, г), показали, что большинство заряженных частиц внутри пробкотрона имеют продольную энергию порядка 100 эв.

Поперечные энергии ионов изменились с помощью ионной ловушки. При фиксированном магнитном поле $H_0 = 1$ кэ (рис. 2) увеличение расстояния от фольги до собирающего коллектора приводило к уменьшению амплитуды сигнала и его длительности. Обработка полученных осциллограмм показывает, что основная доля ионов плазмы после прихода и отражения ее от второй пробки имеет в течение времени $100 \div 120$ мкеск. энергию в $100 \div 150$ эв. Из рис. 2 также видно, что передний фронт основной плазмы, фиксируемый по моменту отсечки микроволнового сигнала ($\lambda = 3$ см), имеет скорость $v \approx 10^7 \text{ см/сек}$. Этот факт хорошо согласуется с результатами приведенных выше энергетических измерений.

Результаты рентгеновских измерений показали, что начиная с момента выхода из камеры поперек магнитного поля H_0 выходят горячие электроны. Используя набор алюминиевых фольг, оказалось возможным оценить энергию γ -квантов. Максимальное значение энергии в первые моменты после инъекции оказалось равным $1 \div 2$ кв.

Время жизни плазмы в магнитной ловушке определялось с помощью осциллографа, аналогичных приведенным на рис. 1, б, в, г. Считая, что момент времени, при котором сигналы на спектрограмме уже отсутствовали, соответствует исчезновению в плазме ионов данной энергии, можно было построить зависимость $W(t)$ (где W — продольная энергия ионов и электронов в ловушке). Эта зависимость оказалась экспоненциальной с характерным временем $t = 80 \div 90$ мкесек. в интервале энергий $200 \div 20$ эв. Предполагая, как это обычно делается^[5], что $T \sim$

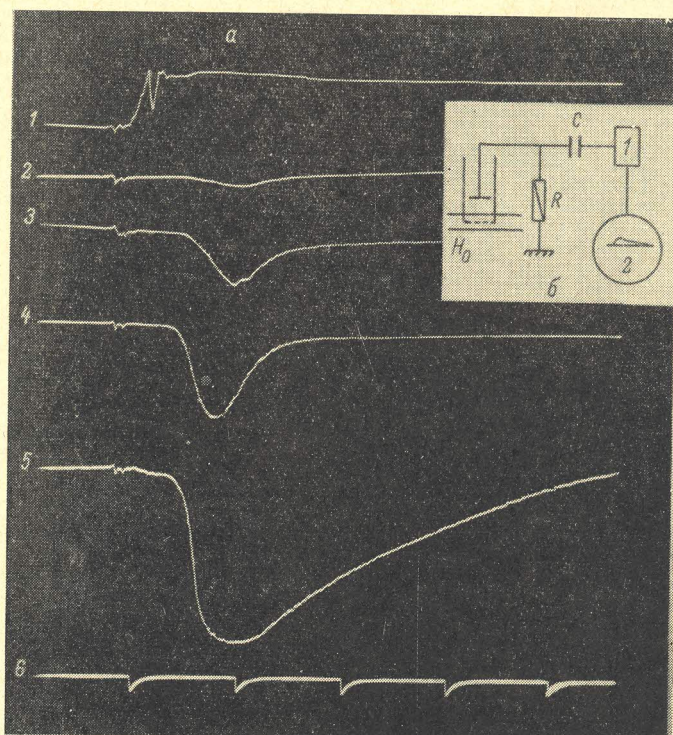


Рис. 2.

1 — запирание СВЧ сигнала ($\lambda = 3$ см). Сигналы с ионной ловушки; 2 — расстояние от сетки до коллектора $l = 4.5, 3 - 3.5$ см, 4 — 2.5, 5 — 1.5 см,
6 — метки времени через 50 мкесек. Газ — D_2 .

$\sim 2\alpha t_{ii}$ (где α — пробочное отношение, а t_{ii} время ионных столкновений), получаем значение $t_{ii} = 20 \div 30$ мкесек., что отличается от расчетного примерно в $2 \div 3$ раза^[5].

Из осциллографм рис. 1 видно, что концентрация заряженных частиц убывает в 10 раз за время t порядка 180 мкесек. Из соотношения $n \sim n_0 : \frac{t_{ii}}{t + t_{ii}}$ находим, что $t_{ii} \sim 18$ мкесек. Совпадение результатов определения величины t_{ii} двумя независимыми методами позволяет заключить, что плазма в магнитной ловушке, по-видимому, устойчива, а отклонение измеренного значения t_{ii} от расчетного может быть объяснено наличием контакта с холодной плазмой со стороны инжектора.

Таким образом, с помощью внешней инжекции (быстрый Θ -пинч) в магнитной ловушке с $H_0 = 1 \div 3$ кэ может быть получена плазма с концентрацией $n \approx 10^{13}$ см⁻³ и средней энергией электронов и ионов порядка 100 эв. Плазма с указанными параметрами может быть использована при изучении физики бесстолкновительных ударных волн.

Авторы выражают свою признательность Р. З. Сагдееву за постоянное внимание и интерес к работе и В. Пильскому за помощь в измерениях.

Литература

- [1] Л. А. Арцимович. Управляемые термоядерные реакции. Физматгиз, М., 1961.—[2] Р. З. Сагдеев. Сб. „Вопросы теории плазмы“, т. 4. Атомиздат, 1964.—[3] А. М. Искольдский, Р. Х. Куртмуллаев, Ю. Е. Нестерихин, А. Г. Пономаренко. ЖЭТФ, 47, вып. 8, 1964.—[4] М. В. Бабыкин, П. П. Гаврин, Е. К. Завойский, Л. И. Рудаков, В. А. Скорюпин, Г. Ф. Шолин. ЖЭТФ, 46, вып. 2, 511, 1964.—[5] Р. Пост. Высокотемпературная плазма и управляемые термоядерные реакции, стр. 19, § 2, ИЛ, 1961.

Поступило в Редакцию
21 мая 1965 г.